

Нелинейные ТЕ-поляризованные квазиповерхностные волны в симметричном световоде с нелинейной сердцевиной

© О.В. Коровай, П.И. Хаджи

Приднестровский государственный университет им. Т.Г. Шевченко,
Тирасполь, Молдавия

Институт прикладной физики АН Молдавии,
Кишинев, Молдавия

E-mail: fmf_nokr@spsu.ru

(Поступила в Редакцию 8 декабря 2009 г.
В окончательной редакции 3 марта 2010 г.)

Предложена теория нелинейных поляризованных симметричных квазиповерхностных волн в симметричной планарной структуре с нелинейной сердцевиной и линейными обкладками. Нелинейность сердцевины обусловлена процессами экситон-фотонного взаимодействия и оптической экситон-биэкситонной конверсии. Получены и исследованы законы дисперсии распространяющихся волн.

1. Введение

Стремительное развитие современной интегральной оптики, повсеместное использование волоконно-оптических линий связи, нарастающие потребности обмена большими объемами информации сохраняют актуальность исследований свойств волноводных, поверхностных и интерфейсных мод, направляемых границами раздела нелинейных световодов на базе полупроводников. В качестве нелинейной диэлектрической функции при исследовании свойств нелинейных поверхностных и волноводных мод в большинстве работ используют модельное выражение с керровской зависимостью диэлектрической функции от электрического поля распространяющейся волны [1–7]. Тем не менее существует ряд работ, в которых выражение для нелинейной диэлектрической функции получают путем учета конкретных механизмов полупроводниковых переходов под действием поля электромагнитной волны [8–14].

Ранее нами были изучены свойства ТЕ-поляризованных поверхностных [15], волноводных [16] и квазиповерхностных волн двух типов [17], распространяющихся вдоль плоских границ раздела симметричной планарной трехслойной структуры с линейной сердцевиной и нелинейными обкладками. Нелинейность обкладок обусловлена учетом процесса оптической экситон-биэкситонной конверсии. Показано, что спектральное (и интенсивностное) поведение ветвей законов дисперсии существенно более сложное, чем поведение дисперсионных ветвей для керровской нелинейности. Это обусловлено сложностью поведения диэлектрической функции нелинейной среды в зависимости от частоты и амплитуды поля распространяющейся волны. Это приводит к разбиению области существования антисимметричных нелинейных поверхностных волн на две независимые, отделенные друг от друга подобласти при определенных значениях параметров. Изменение амплитуды поля приводит к появлению новых резонансных частот, которые обусловлены перенормировкой энергетического спектра

полупроводника при больших уровнях возбуждения. В [18] показано, что имеет место эффект Аутлера–Таунса, обусловленный изменением собственных частот нелинейных объемных поляритонов при увеличении уровня возбуждения [19]. Кроме того, резонансный характер диэлектрической функции приводит к разбиению области существования несимметричных квазиповерхностных волн первого типа на две независимые, отделенные друг от друга подобласти при определенных значениях параметров. Полученные законы дисперсии существенно зависят от потока переносимой энергии.

В настоящей работе представлены результаты исследования свойств ТЕ-поляризованных нелинейных квазиповерхностных волн, направляемых границами раздела симметричной трехслойной структуры с нелинейной сердцевиной.

2. Постановка задачи. Основные уравнения

Изучим свойства квазиповерхностных нелинейных волн в световоде, состоящем из нелинейной пластинки толщиной $2d (-d \leq z \leq +d)$, окруженной полубесконечными линейными обкладками, характеризующимися постоянной диэлектрической проницаемостью ϵ_0 . Нелинейная пластина представляет собой полупроводник, в котором проходящая световая волна может возбуждать экситоны из основного состояния кристалла и превращать их в биэкситоны благодаря процессу оптической экситон-биэкситонной конверсии. Одновременный учет экситон-фотонного взаимодействия и оптической экситон-биэкситонной конверсии возможен для кристаллов типа CdS, CdSe, где энергия связи биэкситонов исчезающе мала.

Будем использовать выражение для диэлектрической функции ϵ нелинейной среды, зависящей от частоты ω и амплитуды E электромагнитного поля распространяю-

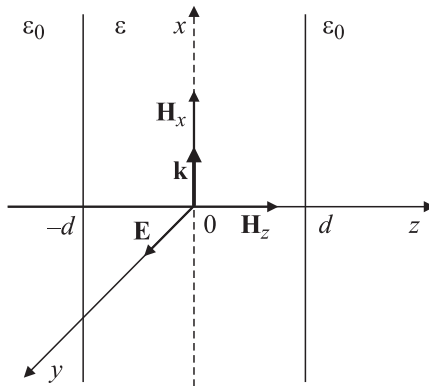


Рис. 1. Геометрия задачи и направления компонент полей.

щейся волны, полученное в [9,14],

$$\varepsilon = \varepsilon_\infty \left(1 - \frac{\omega_{\text{LT}}}{\Delta} \frac{E_s^4}{(E_s^2 - E^2)^2} \right), \quad (1)$$

где $E_s^2 = 2\Delta^2/\sigma^2$, $\Delta = \omega - \omega_0$ — расстройка резонанса для частоты ω распространяющейся волны относительно частоты ω_0 экситонного перехода, $\omega_{\text{LT}} = 4\pi\hbar g^2/\varepsilon_\infty$ — частота продольно-поперечного расщепления экситонного состояния, ε_∞ — фоновая диэлектрическая постоянная, σ — константа оптической экситон-биэкситонной конверсии, g — константа экситон-фотонного взаимодействия.

Изучим закономерности стационарного распространения квазиповерхностных волн в симметричной трехслойной структуре в геометрии рис. 1. Считаем, что электромагнитная волна распространяется вдоль оси x с волновым вектором \mathbf{k} . Поле ТЕ-поляризованной волны содержит поперечные электрическую $E_y = E$ (параллельную оси y) и магнитную H_z , а также продольную компоненту магнитного поля H_x . Из уравнений Максвелла с учетом непрерывности тангенциальных компонент полей E_y и H_x вдоль границы раздела получаем следующие волновые уравнения, описывающие пространственное распределение электрического поля $E_y = E$ электромагнитной волны в стационарном режиме:

$$\frac{d^2E}{dz^2} = \frac{\omega^2}{c^2} \left(n^2 - \varepsilon_\infty \left(1 - \frac{\omega_{\text{LT}}}{\Delta} \frac{E_s^4}{(E_s^2 - E^2)^2} \right) \right) E, \quad |z| \leq d, \quad (2)$$

$$\frac{d^2E}{dz^2} = \frac{\omega^2}{c^2} (n^2 - \varepsilon_0) E, \quad |z| \geq d, \quad (3)$$

где $n = ck/\omega$ — эффективный показатель преломления среды. Поскольку мы ищем ограниченные в пространстве квазиповерхностные волны, энергия которых локализована в окрестности границ раздела $|z| = d$, при решении уравнения (3) необходимо удовлетворить условиям обращения в нуль амплитуды поля и ее производной на бесконечности

$$\lim_{z \rightarrow \pm\infty} E \rightarrow 0; \quad \lim_{z \rightarrow \pm\infty} dE/dz \rightarrow 0. \quad (4)$$

Вводя нормированные переменные $y = \frac{E}{E_s}$, $\tilde{z} = \frac{\omega}{c} z$, $\tilde{\varepsilon} = \varepsilon_\infty \frac{\omega_{\text{LT}}}{\Delta}$ и интегрируя (2), для областей $|\tilde{z}| < D = \frac{\omega}{c} d$ получаем

$$\left(\frac{dy}{d\tilde{z}} \right)^2 + W(y) = C_0, \quad (5)$$

где

$$W(y) = -y^2 \left(n^2 - \varepsilon_\infty + \frac{\tilde{\varepsilon}}{1 - y^2} \right). \quad (6)$$

Здесь $W(y)$ играет роль потенциальной энергии нелинейного осциллятора, движение которого описывается первым интегралом (5), а C_0 — константа интегрирования. С другой стороны, C_0 — параметр, определяющий величину поля на границе раздела сред при сохранении значений всех констант неизменными. Для оптически линейной среды выражение для $W(y)$ имеет вид

$$W(y) = -y^2(n^2 - \varepsilon_0). \quad (7)$$

Из анализа уравнения (6) следует, что решения в виде квазиповерхностных волн могут существовать только при тех значениях амплитуды поля $E(\tilde{z})$, для которых $W(E) \leq 0$. Это значительно ограничивает область значений параметров. Из (6) и (7) следует, что решения для квазиповерхностных волн возможны при $\Delta < 0$ и $n^2 > \varepsilon_\infty > \varepsilon_0$. Следовательно, амплитуда E квазиповерхностных волн будет изменяться в пределах

$$0 \leq E^2 \leq E_m^2 = \left(1 - \frac{\varepsilon_\infty \omega_{\text{LT}}}{|\Delta|(n^2 - \varepsilon_\infty)} \right) E_s^2, \quad (8)$$

где E_m является максимально возможной амплитудой поля квазиповерхностной волны, которая может существовать только в длинноволновой области от частоты экситонного перехода, причем $n^2 > \varepsilon_0$.

Определим величину поля на границе раздела нелинейной и линейной сред, требуя равенства поля и его производной в точке $|\tilde{z}| = D$. Из уравнения (5) при учете (6) и (7) получим, что величина поля на границе раздела определяется выражением

$$E_0 = \sqrt{1 - \frac{\varepsilon_\infty \omega_{\text{LT}}}{|\Delta|(\varepsilon_0 - \varepsilon_\infty)}} E_s.$$

Для существования волны необходимо, чтобы $E_0 < E_m$.

Значение константы интегрирования C_0 существенно определяет типы решений уравнения (6). Рассмотрим простейший случай $C_0 = 0$. В этом случае существует только одно решение уравнения в виде симметричной квазиповерхностной волны, закон дисперсии которой имеет вид

$$\ln \frac{\sqrt{1 - y_m^2}}{\sqrt{1 - y_0^2} + \sqrt{y_m^2 - y_0^2}} + \frac{1}{y_m} \ln \frac{\sqrt{y_m^2 - y_0^2} + y_m \sqrt{1 - y_0^2}}{y_0 \sqrt{1 - y_m^2}} = qD, \quad (9)$$

где $y_0 = \sqrt{1 - \frac{\alpha}{q^2 - q_0^2}}$ — нормированное поле на границе раздела, а $y_m = \sqrt{1 - \frac{\alpha}{a^2}}$ — нормированное мак-

симимальное значение поля внутри нелинейной пластиинки, $q = \sqrt{n^2 - \varepsilon_\infty}$, $q_0 = \sqrt{n^2 - \varepsilon_0}$, $\alpha = \frac{\varepsilon_\infty \omega_{\text{LT}}}{\Delta}$. Выражение (9) определяет зависимость эффективного показателя преломления среды n от расстройки резонанса Δ при фиксированных значениях толщины пленки D и параметра y_0 — амплитуды поля волны на границе раздела сред в точке $\bar{z} = D$.

В случае, когда значение константы интегрирования $C_0 > 0$, уравнение (6) имеет четные и нечетные решения в виде симметричных и антисимметричных квазиповерхностных волн различного порядка.

Рассмотрим нижайшую четную моду. Из уравнения (5) в случае $C_0 > 0$ следует, что решение в виде квазиповерхностной четной волны имеет вид

$$q\sqrt{y_+ - y_-}D = (1 - y_-)[K(k) - F(\varphi_0, k)] + y_- \left[\Pi\left(\frac{\pi}{2}, -\frac{y_+}{y_+ - y_-}, k\right) - \Pi\left(\varphi_0, -\frac{y_+}{y_+ - y_-}, k\right) \right], \quad (10)$$

где $K(k)$ — полный эллиптический интеграл первого рода, $F(\varphi_0, k)$ — неполный эллиптический интеграл первого рода, $\Pi\left(\frac{\pi}{2}, -\frac{y_+}{y_+ - y_-}, k\right)$ — неполный эллиптический интеграл третьего рода, $k^2 = \frac{(1 - y_-)y_+}{y_+ - y_-}$ — модуль эллиптического интеграла [20], $\varphi_0 = \arcsin \sqrt{\frac{(y_+ - y_-)y_0}{(y_0 - y_-)y_+}}$, где

$$y_\pm = \frac{1}{2} \left(1 - \frac{\alpha + C_0}{q^2} \pm \sqrt{\left(1 - \frac{\alpha + C_0}{q^2} \right)^2 + \frac{4C_0}{q^2}} \right), \quad (11)$$

$$y_0 = \sqrt{-\frac{1}{2} \left(\frac{q_0^2 - q^2 y_m^2 + C_0}{\varepsilon_0 - \varepsilon_\infty} \right)} + \sqrt{\frac{1}{4} \left(\frac{q_0^2 - q^2 y_m^2 + C_0}{\varepsilon_0 - \varepsilon_\infty} \right)^2 + \frac{C_0}{\varepsilon_0 - \varepsilon_\infty}}. \quad (12)$$

Анализ выражений (10)–(12) показывает, что закон дисперсии имеет сложную зависимость от значения поля на границе раздела и параметров сред.

Поскольку константа интегрирования C_0 может принимать различные значения, рассмотрим частный случай, когда $C_0 = q^2 - \alpha$. В этом случае зависящие от параметра C_0 закон дисперсии и функции y_- , y_+ , y_0 существенно упростятся и примут вид

$$(1 + y_+)[K(k) - F(\varphi_0, k)] - y_+ \left[\Pi\left(\frac{\pi}{2}, -\frac{1}{2}, k\right) - \Pi\left(\varphi_0, -\frac{1}{2}, k\right) \right] = \sqrt{2y_+}qd, \quad (13)$$

где $k^2 = \frac{1+y_+}{2}$, $\varphi_0 = \arcsin \sqrt{\frac{2y_0}{y_0 + y_+}}$,

$$y_+ = \sqrt{1 - \frac{\alpha}{q^2}}, \quad (14)$$

$$y_- = -y_+, \quad (15)$$

$$y_0 = \sqrt{\frac{1}{2} \left(1 - \frac{\alpha + C_0}{\varepsilon_0 - \varepsilon_\infty} \right) + \sqrt{\frac{1}{4} \left(1 - \frac{\alpha + C_0}{\varepsilon_0 - \varepsilon_\infty} \right)^2 + \frac{C_0}{\varepsilon_0 - \varepsilon_\infty}}}. \quad (16)$$

Определим поток энергии, переносимый волной в случае, когда $C_0 = 0$. Поток энергии представлен интегралом по всем \bar{z} , где профиль волны неоднороден:

$$P = \frac{c^2 n}{8\pi\omega} \int_{-\infty}^{\infty} E_y^2(\bar{z}) d\bar{z}. \quad (17)$$

Полный поток энергии P , переносимой волной, определяется суммарным значением нелинейного потока сердцевины P_{NL} и линейного потока P_L обкладок, которые определяются выражениями

$$P_L = \frac{c^2 n}{8\pi\omega} \frac{E_0^2}{4q_0}, \quad (18)$$

$$P_{\text{NL}} = \frac{c^2 n}{16\pi\omega} \frac{E_s^2}{q} \left\{ \sqrt{(1 - E_0^2)(E_m^2 - E_0^2)} + (1 - E_m^2) \ln \frac{\sqrt{1 - E_m^2}}{\sqrt{1 - E_0^2} - \sqrt{E_m^2 - E_0^2}} \right\}. \quad (19)$$

Исключая из закона дисперсии E_0 с помощью выражения для поля на границе раздела, получаем зависимость $P(n, \Delta)$, т. е. зависимость эффективного показателя преломления нелинейного световода n от потока энергии, переносимой волной для каждого из значений константы C_0 .

В случае, когда $C_0 > 0$, $C_0 = q^2 - \alpha$, полный поток энергии P , переносимый волной, также определяется суммарным значением линейного потока P_L обкладок и нелинейного потока сердцевины P_{NL} , при этом линейный поток определен выражением (18), а нелинейный поток будет иметь вид

$$P_{\text{NL}} = \frac{c^2 n}{4\pi\omega} \frac{E_s^2}{q} \sqrt{2y_+} \times \left((1 + y_+) [K(k) - F(\varphi_0, k)] - [E(k) - E(\varphi_0, k)] - y_+ [\Pi\left(\frac{\pi}{2}, -\frac{1}{2}, k\right) - \Pi\left(\varphi_0, -\frac{1}{2}, k\right)] \right). \quad (20)$$

3. Обсуждение результатов

Рассмотрим закон дисперсии для квазиповерхностной симметричной моды и в соответствии с (9) изучим поведение дисперсионных кривых $n(\delta, y_0)$. Нелинейная симметричная волна существует только в спектральной области $\delta < 0$. Точки начала кривых $\delta(n)$ закона дисперсии соответствуют расстройке резонанса $|\delta| = |\delta_0| = \varepsilon_\infty / (\varepsilon_0 - \varepsilon_b)$. Кроме того, нормированная амплитуда поля E_0 на границе раздела сред

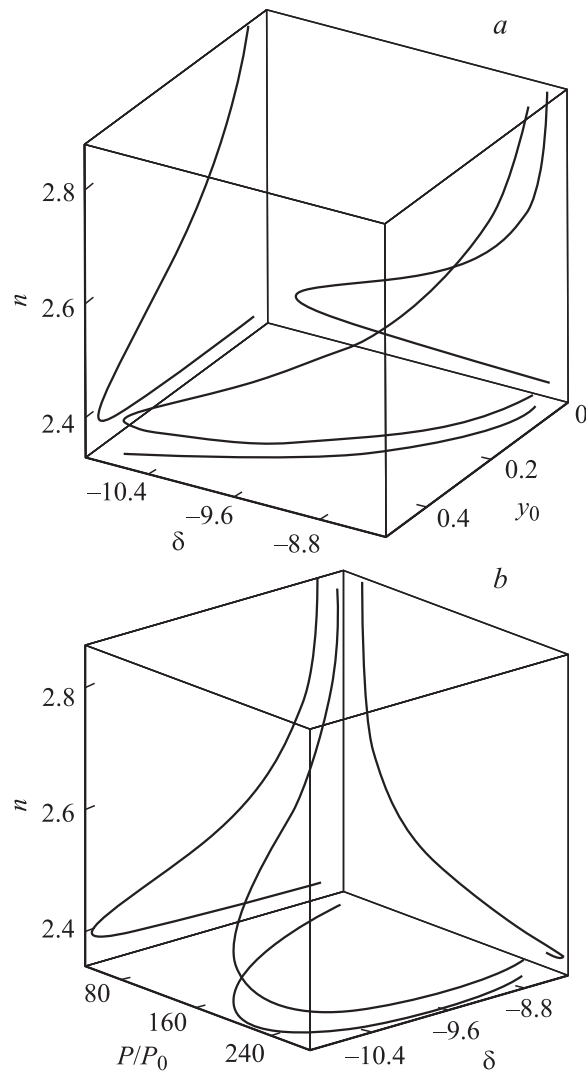


Рис. 2. Закон дисперсии (*a*) и поток энергии (*b*) для симметричной ТЕ-поляризованной квазиверхностной волны, рассчитанные при значениях $\varepsilon_0 = 5.6$, $\varepsilon_\infty = 5$, $D = 0.1$, $C_0 = 0$.

$y_0 = \sigma E_0 / \omega_{\text{LT}}$ существенно зависит от расстройки резонанса δ и параметров световода, при этом значение поля на границе раздела существенно определяется значением константы C_0 .

Из рис. 2, *a* видно, что кривые закона дисперсии характеризуются наличием максимума показателя преломления, расположенного в области максимально допустимого значения величины поля y_0 . Видно, что закон дисперсии состоит из двух ветвей $n(\delta)$, одна из которых характеризуется возрастанием, а другая — монотонным убыванием величины эффективного показателя преломления n при уменьшении расстройки резонанса δ . При уменьшении значения амплитуды поля y_0 на границе раздела ветви закона дисперсии расходятся, отталкиваясь друг от друга. При этом каждому значению δ соответствуют два значения n и два значения y_0 . Видно, что частотный интервал существования моды узкий. Анализ поведения кривых показал, что спектральный

интервал существования моды существенно зависит от толщины нелинейной пластиинки. Чем шире пластиинка, тем шире интервал значений δ и y_0 . Кроме того, при увеличении толщины пластиинки кривые закона дисперсии смещаются в длинноволновую область от частоты экситонного перехода.

На рис. 2, *b* представлена зависимость нормированного потока $P(n, \delta)/P_0$, где $P_0 = 4\pi\omega/c^2n$, для квазиверхностной нелинейной симметричной моды. Одному и тому же значению $|\delta|$ соответствуют два различных значения $P(n, \delta)$ вдоль двух ветвей проекции кривой на плоскости (P, δ) . При уменьшении $|\delta|$ вдоль одной ветви поток монотонно возрастает, достигая максимума, затем резко убывает, тогда как вдоль другой ветви монотонно убывает.

На рис. 3, *a* представлены кривые закона дисперсии для квазиверхностной симметричной моды в случае, когда $C_0 > 0$. Каждая кривая соответствует одному зна-

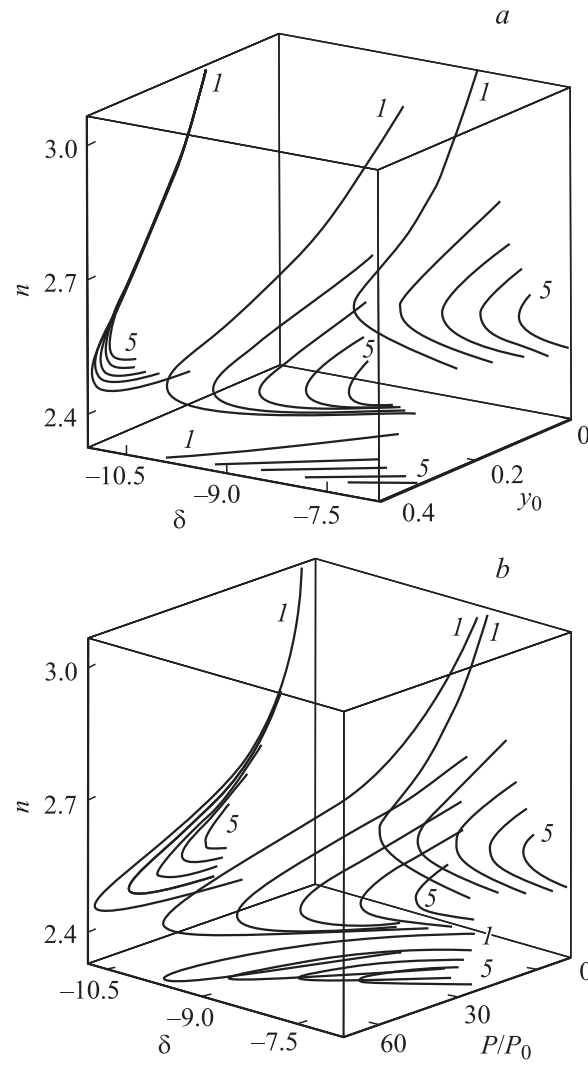


Рис. 3. Закон дисперсии (*a*) и поток энергии (*b*) для симметричной ТЕ-поляризованной квазиверхностной волны, рассчитанные при $\varepsilon_0 = 5.6$, $\varepsilon_\infty = 5$, $D = 0.1$ для различных значений C_0 . C_0 возрастает от 0.001 (1) до 0.025 (5).

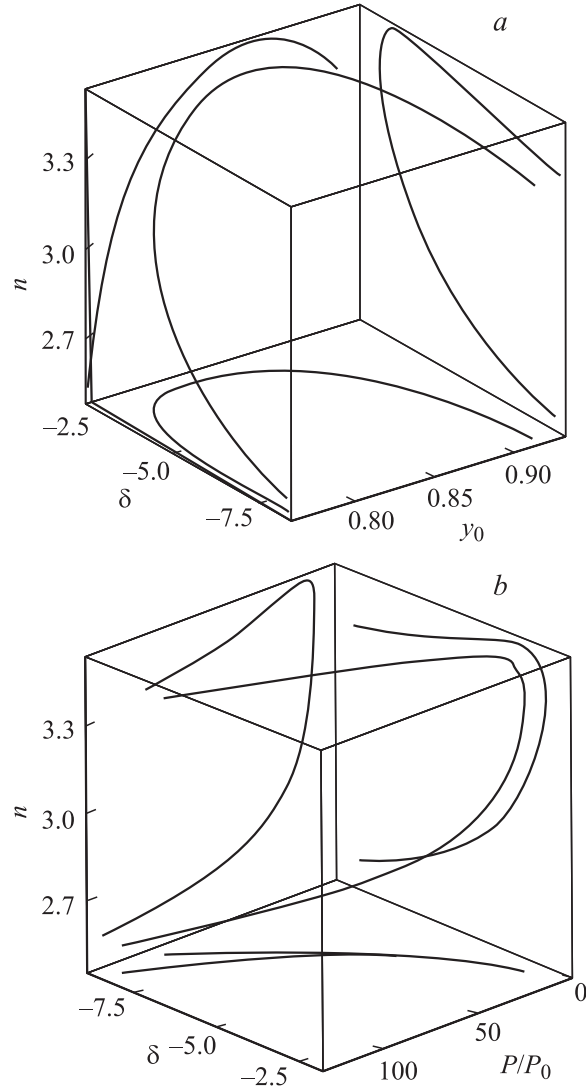


Рис. 4. Закон дисперсии (*a*) и поток энергии (*b*) для симметричной TE-поляризованной квазиповерхностной волны, рассчитанные при $\varepsilon_0 = 5.6$, $\varepsilon_\infty = 5$, $D = 1$, $C_0 = q^2 - \alpha$.

чению константы C_0 . Кривые закона дисперсии также состоят из двух ветвей $n(\delta)$, одна из которых монотонно возрастает, достигая максимального значения $|\delta|$, а другая убывает при изменении $|\delta|$. Величина максимума $|\delta|$ уменьшается при увеличении значения константы C_0 . Спектральный интервал каждой кривой, определяемый значением константы C_0 , чрезвычайно мал. Кроме того, видно, что для каждого из значений константы существует очень узкая область допустимых значений поля на границе раздела y_0 . При этом каждому значению поля y_0 соответствуют два значения эффективного показателя преломления n . Количество кривых ограничено разрешенными значениями константы C_0 . С ростом C_0 моды постепенно выталкиваются из волокна и допустимые области существования мод сужаются.

Что касается кривых нормированного потока $P(n, \delta)/P_0$, представленных на рис. 3, *b*, то их ка-

чественное поведение не отличается от поведения кривых закона дисперсии. Величина потока возрастает с ростом $|\delta|$. Одному и тому же значению $|\delta|$ соответствуют два различных значения $P(n, \delta)$.

На рис. 4, *a* представлен закон дисперсии в случае, когда $C_0 = q^2 - \alpha$. В этом случае нелинейная симметричная волна существует также только в спектральной области $\delta < 0$. Точки окончания дисперсионных кривых соответствуют расстройке резонанса $|\delta| = |\delta_0| = \varepsilon_\infty / (\varepsilon_0 - \varepsilon_\infty)$. Кривые закона дисперсии касаются верхней ветви кривой, определяющей диэлектрическую функцию экситона $\varepsilon = \varepsilon_\infty (1 + \frac{1}{|\delta|})$. Из рис. 4, *a* видно, что в этом случае существует только одна кривая зависимости $n(\delta)$, которая характеризуется почти одинаково возрастанием и убыванием величины поля при увеличении расстройки резонанса $|\delta|$, при этом каждому значению расстройки резонанса соответствуют два значения y_0 и эффективного показателя преломления n .

На рис. 4, *b* представлена кривая нормированного потока $P(n, \delta)/P_0$. Видно, что в отличие от закона дисперсии $n(\delta)$ кривая потока при увеличении $|\delta|$ сначала резко убывает, достигая минимума, а затем резко возрастает, при этом каждому $|\delta|$ соответствуют два значения $P(n, \delta)$. Кроме того, в этом случае поток более интенсивный, чем в случае $C_0 > 0$. Этот тип волн существует при потоках энергии, превосходящих пороговое значение.

4. Заключение

Получены и исследованы законы дисперсии для нелинейной симметричной квазиповерхностной TE-поляризованной волны при различных значениях константы, определяющей величину поля на границе раздела линейной и нелинейной сред. Показано, что значение константы существенно определяет характер поведения закона дисперсии. Существование квазиповерхностной TE-поляризованной волны обусловлено взаимодействием экситонов и биэкситонов со светом. Нелинейная диэлектрическая функция существенно зависит от поля распространяющейся волны, а законы дисперсии — от потока переносимой энергии.

Список литературы

- [1] A.D. Boardman, T. Twardowski. J. Opt. Soc. Am. B **5**, 523 (1988).
- [2] K.M. Leung. J. Opt. Soc. Am. B **5**, 571 (1988).
- [3] L. Torner, J.P. Torres. IEEE J. Quant. Electron. **28**, 1571 (1992).
- [4] J.P. Torres, L. Torner. IEEE J. Quant. Electron. **29**, 917 (1993).
- [5] C.A. Вакуленко, И.А. Молотков. Вестн. ЛГУ. Сер. 4, **11**, 21 (1987).
- [6] Х.С. Арутюнян, К.А. Барсуков. Изв. АН АрмССР **20**, 125 (1985); Опт. и спектр. **58**, 1064 (1985).

- [7] S.J. Al-Bader, H.A. Jamid. IEEE J. Quant. Electron. **24**, 2052 (1988).
- [8] H.W. Schürmann, V.S. Serov, Yu.V. Shestopalov. Phys. Rev. E **58**, 1040 (1998).
- [9] P.I. Khadzhi, E.S. Kiseleva. Phys. Status Solidi B **147**, 741 (1988).
- [10] П.И. Хаджи. ФТТ **29**, 9, 2721 (1987).
- [11] П.И. Хаджи, Л.В. Федоров. ЖТФ **61**, 5, 110 (1991).
- [12] Л.С. Асланян, Ю.С. Чилингарян. Письма в ЖТФ **20**, 1, 1 (1994).
- [13] В.Г. Бордо. Письма в ЖТФ **14**, 13, 1172 (1988).
- [14] П.И. Хаджи, К.Д. Ляхомская. Квантовая электрон. **29**, 1, 43 (1999).
- [15] О.В. Коровай, П.И. Хаджи. ФТТ **45**, 2, 364 (2003).
- [16] О.В. Коровай, П.И. Хаджи, С.И. Берил. ФТТ **45**, 4, 720 (2003).
- [17] О.В. Коровай, П.И. Хаджи. ФТТ **50**, 6, 1116 (2008).
- [18] П.И. Хаджи, О.В. Коровай, Д.В. Ткаченко. ФТТ **44**, 5, 774 (2002).
- [19] R. Shimano, M. Kuwata-Gonokami. Phys. Rev. Lett. **72**, 530 (1994).
- [20] И.С. Градштейн, И.М. Рыжик. Таблицы интегралов, сумм, рядов и произведений. Физматгиз, М. (1963).